

О СТРУКТУРЕ ДЕТОНАЦИОННЫХ ВОЛН В ВАКУУМ-ВЗВЕСИ ЧАСТИЦ ГЕКСОГЕНА

УДК 534.222.2

С. А. Ждан

Институт гидродинамики им. М. А. Лаврентьева СО РАН,
630090 Новосибирск

Рассмотрена математическая модель детонации вакуум-взвесей летучих вторичных взрывчатых веществ, учитывающая неравномерное распределение температуры внутри частиц при их обтекании потоком газообразных продуктов. Исследована безударная структура стационарной детонации взвеси частиц гексогена в вакууме. Рассчитаны параметры двухфазного потока в зоне реакции и ее длина в зависимости от массовой концентрации и размеров частиц гексогена.

Теоретический анализ детонационных волн (ДВ) в газовзвесях унитарного топлива проведен в работах [1–5]. Установлено, что структура волны качественно соответствует модели Зельдовича — Неймана — Деринга: ударный скачок, зона релаксации (прогрева частиц) и зона энерговыделения. В [6, 7] показано, что в вакуум-взвесях унитарного топлива реализуется безударная структура ДВ.

В данной работе рассмотрено обобщение математической модели детонации вакуум-взвесей [6], основанное на решении уравнения теплопроводности совместно с уравнениями движения взвеси частиц взрывчатого вещества (ВВ). Представлены результаты численного исследования особенностей безударной структуры волны стационарной детонации в вакууме с частицами гексогена.

ПОСТАНОВКА ЗАДАЧИ

Предварительно оценим степень неравномерности прогрева частицы ВВ с начальной температурой T_0 при ее входжении в ДВ. Согласно результатам работы [6] в зоне релаксации ДВ частица ВВ обтекается высокоскоростным ($u_1 \approx 1$ км/с) и высокотемпературным ($T_1 \approx 10^3$ К) потоком газа, причем интенсивность притока тепла $\hat{q} = \lambda_1 \text{Nu} \cdot (T_1 - T_{2\sigma})/d_0$ к единице поверхности частицы диаметром d_0 достигает $\approx 10^6 \div 10^7$ Вт/м². Здесь λ_1 — коэффициент теплопроводности газа; Nu — критерий Нуссельта, зависящий от чисел Рейнольдса и Прандтля; $T_{2\sigma}$ — температура поверхности частицы. Так как при прогреве в зоне релаксации ДВ частиц вторичных ВВ диаметром $d_0 > 10$ мкм число Би $\text{Bi} = \lambda_1 \text{Nu}/2\lambda_2$ больше единицы, то внутри частиц должна наблюдаться [8] значительная неравномерность в распределении температуры $T_2(x, r)$ по радиусу r ($0 < r < r_0$) и средняя температура частицы в точке x

$$\bar{T}_2(x) = 3r_0^{-3} \int_0^{r_0} T_2(x, r) r^2 dr$$

может быть существенно меньше $T_{2\sigma}$. Учет неравномерного прогрева частиц при моделировании ДВ во взвесях частиц ВВ приводит к необходимости определения в каждой точке зоны реакции x поля температур в частицах $T_2(x, r)$ из решения задачи [1, 8–10] о распространении тепла внутрь частиц под действием сильного теплоподвода к их поверхности.

Рассмотрим движение ДВ с постоянной скоростью \mathfrak{D} по вакуум-взвеси монодисперсных частиц летучего вторичного ВВ (гексоген, тэн, октоген и т. д.), испаряющегося при температуре T_s . Сделаем следующие допущения:

- 1) при прогреве частиц ВВ потоком газообразных продуктов их газификация начинается при $T_{2\sigma} = T_s$ [11];
- 2) скорость выгорания частиц лимитируется скоростью их газификации;
- 3) продукты реакции — калорически совершенный газ, частицы несжимаемые и сферические;
- 4) в исходном состоянии частицы ВВ взвешены в вакууме, т. е. начальные давление p_0 и плотность газовой фазы ρ_{10}^0 равны нулю.

В системе координат, связанной с фронтом волн, движение частиц ВВ в газообразных продуктах сгорания стационарно и уравнения двухфазной двухскоростной среды [3] имеют четыре первых интеграла:

$$\begin{aligned} \rho_1 u_1 + \rho_2 u_2 &= \rho_{20} \mathfrak{D} \quad (\rho_i = \alpha_i \rho_i^0), \quad \rho_1 u_1^2 + \rho_2 u_2^2 + p = \rho_{20} \mathfrak{D}^2, \quad n u_2 = n_0 \mathfrak{D}, \\ \rho_1 u_1 (h_1 + u_1^2/2) + \rho_2 u_2 (h_2 + u_2^2/2) &= \rho_{20} \mathfrak{D} (h_{20} + \mathfrak{D}^2/2), \end{aligned} \quad (1)$$

Здесь ρ_i , ρ_i^0 , α_i , u_i , h_i ($i = 1, 2$) — средняя и истинная плотности, объемная концентрация, скорость и удельная энталпия i -й фазы; p — давление; n — число частиц в единице объема; \mathfrak{D} — скорость ДВ; индексом 0 внизу обозначены параметры в исходном состоянии.

Уравнения сохранения массы, импульса и энергии частиц имеют вид

$$(\rho_2 u_2)_x = -j, \quad \rho_2 u_2 u_{2,x} + \alpha_2 p_x = f, \quad (2)$$

$$u_2 T_{2,x} = \alpha_2 r^{-2} (r^2 T_{2,r})_r, \quad 0 < r < r_2(x), \quad (3)$$

где j , f — интенсивности массового и силового взаимодействий между фазами; $T_2(x, r)$ — распределение температуры внутри частиц; $\alpha_2 = \lambda_2 / \rho_2^0 c_2$; λ_2 — коэффициент теплопроводности к-фазы; $r_2(x)$ — текущий радиус частиц.

Дополним систему (1)–(3) уравнениями состояния фаз

$$p = \rho_1^0 \tilde{R} T_1, \quad h_1 = c_1 T_1, \quad \rho_2^0 = \text{const}, \quad h_2 = c_2 \bar{T}_2 + p / \rho_2^0 + q_0, \quad \bar{T}_2(x) = 3r_2^{-3} \int_0^{r_2} T_2(x, r) r^2 dr, \quad (4)$$

где \tilde{R} — газовая постоянная; c_1 , T_1 — удельная теплоемкость и температура продуктов реакции; c_2 , \bar{T}_2 — удельная теплоемкость и средняя температура частиц; q_0 — тепловой эффект химических реакций на единицу массы ВВ.

Прогрев сферических частиц переменным тепловым потоком \hat{q} до момента, соответствующего $T_{2\sigma} = T_s$, описывается уравнением теплопроводности (3) с начальным и граничными условиями [9, 10]

$$T_2(0, r) = T_0, \quad T_{2,r} = 0 \text{ при } r = 0; \quad \lambda_2 T_{2,r} = \hat{q} = \lambda_1 N u(T_1 - T_{2\sigma}) / d_0 \text{ при } r = d_0/2. \quad (5)$$

Предварительный анализ задачи показал, что в точке зоны релаксации ДВ $x = x_*$, в которой $T_{2\sigma}(x_*) = T_s$, градиент температуры $T_{2,r}$ у поверхности частиц превышает критический [9, 10], т. е. для взвесей летучих вторичных ВВ при $x > x_*$ реализуется режим

вынужденной газификации, удовлетворяющий уравнению (3) с условиями $T_2 = T_2(x_*, r)$, $r_2(x_*) = d_0/2$, $T_{2\sigma} = T_s$ при $r = r_2(x)$, $T_{2,r} = 0$ при $r = 0$;

$$\lambda_2 T_{2,r} = \dot{q} + \rho_2^0 u_2 (H + L_2) r_{2,x}. \quad (6)$$

Здесь L_2 — скрытая теплота испарения, $H \simeq c_2(T_s - T_0)$ — величина, учитывающая экранирующий эффект притока тепла от газовой фазы к частице при ее газификации. Соотношение (6) получается из баланса тепла на термически разлагающейся поверхности [9] и позволяет определять скорость изменения радиуса частиц ВВ.

Замыкающие соотношения для интенсивностей массового, силового и теплового взаимодействий между фазами имеют вид

$$\begin{aligned} j &= \begin{cases} 0, & \text{если } T_{2\sigma} < T_s, \\ -3\rho_2 u_2 r_2^{-1} r_{2,x}, & \text{если } T_{2\sigma} \geq T_s, \end{cases} \\ f &= n\pi d^2 \rho_1^0 C_D(\text{Re}, M) |u_1 - u_2| (u_1 - u_2)/8, \\ q &= n\pi d^2 \hat{q}, \quad \hat{q} = \lambda_1 \text{Nu} \cdot (T_1 - T_{2\sigma})/d, \quad \text{Nu} = 2 + 0,459 \text{Pr}^{1/3} \text{Re}^{0,55}, \end{aligned} \quad (7)$$

где $C_D(\text{Re}, M)$ — коэффициент сопротивления сферических частиц, определяемый по данным [12], является функцией числа Рейнольдса частицы $\text{Re} = \rho_1^0 d |u_1 - u_2| / \mu_1$ и числа Маха относительного потока $M = |u_1 - u_2| / c$. Коэффициенты вязкости и теплопроводности газа μ_1 и λ_1 зависят от температуры газа по степенному закону: $\mu_1 = \mu_{10} (T_1/300)^{0,7}$, $\lambda_1 = \lambda_{10} (T_1/300)^{0,7}$. Система уравнений (1)–(7) замкнута.

Введем следующие безразмерные функции:

$$\begin{aligned} R_i &= \frac{\rho_i}{\rho_{20}}, \quad U_i = \frac{u_i}{\mathfrak{D}}, \quad H_i = \frac{h_i}{q_0}, \quad C_i = \frac{c_i T_s}{q_0}, \quad \theta_i = \frac{T_i}{T_s} \quad (i = 1, 2), \\ \bar{\theta}_2 &= \frac{\bar{T}_2}{T_s}, \quad N = \frac{n}{n_0}, \quad P = \frac{p}{\rho_{20} q_0}, \quad J = \frac{j x_0}{\rho_{20} \sqrt{q_0}}, \quad F = \frac{f x_0}{\rho_{20} q_0}, \quad Q = \frac{q x_0}{\rho_{20} \sqrt{q_0} q_0}, \quad D = \frac{\mathfrak{D}}{\sqrt{q_0}} \end{aligned}$$

и координаты $\xi = x/x_0$, $\eta = 2r/d_0$, где $x_0 = d_0^2 \rho_2^0 q_0^{0,5} / 18\mu_{10}$ — характерный размер задачи, выбор которого в данном виде обоснован в [6].

Зону реакции стационарной ДВ в вакуум-взвеси разобьем на две части: зона прогрева частиц ($0 < \xi \leq \xi_*$), заканчивающаяся в плоскости их воспламенения ($\theta_{2\sigma} = 1$), и зона горения ($\xi_* < \xi < \xi_J$), заканчивающаяся в плоскости Чепмена — Жуге ($\xi = \xi_J$). Безразмерная система (1)–(3) в зоне прогрева ($\theta_0 < \theta_{2\sigma} \leq 1$) примет вид

$$\begin{aligned} R_1 U_1 &= 0, \quad \alpha_2 U_2 = \alpha_{20}, \quad R_2 (U_2 D)^2 + P = D^2, \\ C_2 \bar{\theta}_2 + \alpha_{20} P + (U_2 D)^2 / 2 &= C_2 \theta_0 + D^2 / 2, \quad R_2 U_2 = 1, \quad D^2 U_{2,\xi} + \alpha_2 P_\xi = F, \end{aligned} \quad (8)$$

$$D U_{2,\xi} = A \eta^{-2} (\eta^2 \theta_{2,\eta})_\eta, \quad 0 < \eta < 1, \quad (9)$$

$$\theta_{2,\eta} = \begin{cases} 0 & \text{при } \eta = 0, \\ \lambda_1 \text{Nu} (\theta_1 - \theta_{2\sigma}) / 2\lambda_2 & \text{при } \eta = 1, \end{cases}$$

$$\bar{\theta}_2(\xi) = 3 \int_0^1 \theta_2(\xi, \eta) \eta^2 d\eta, \quad A = 2\lambda_2 / 9c_2\mu_{10}.$$

Система (8) и уравнение теплопроводности (9) не зависят явно от диаметра частиц d_0 . Аналогично работе [6] можно показать, что в зоне прогрева частиц ($0 < \xi \leq \xi_*$) мас-

совая скорость, объемная концентрация, удельный объем частиц ВВ, а также давление газообразных продуктов суть функции только одного параметра — средней температуры частиц θ_2 . Так как плотность газа в зоне $R_1(\xi) \neq 0$, то из первого уравнения (8) находим $U_1(\xi) \equiv 0$, т. е. всюду в зоне прогрева газообразные продукты неподвижны. Из закона сохранения импульса смеси получаем $P = D^2(1 - U_2)$, т. е. при фиксированном значении D давление зависит только от массовой скорости частиц ВВ. Согласно закону сохранения энергии смеси, U_2 зависит только от средней температуры частиц $\theta_2(\xi)$: $U_2 = \alpha_{20} + \{(1 - \alpha_{20})^2 - 2C_2(\theta_2 - \theta_0)/D^2\}^{0.5}$. Удельный объем частиц $V_2 = 1/R_2$ выражается через скорость: $V_2 = U_2$. Из последнего уравнения системы (8) и интегрированного по r ($0 \leq r \leq d_0/2$) уравнения (9) следует связь $Q + U_2 DF = 0$ между интенсивностями силового и теплового взаимодействий фаз, которая позволяет определять в зоне прогрева температуру газа θ_1 . Из уравнения состояния (6) находим истинную R_1^0 и среднюю R_1 плотности газовой фазы.

Рассмотрим поведение решения в зоне горения ($\xi \geq \xi_*$). Безразмерная система (1)–(3) в этой зоне примет вид

$$\begin{aligned} R_1 U_1 + R_2 U_2 &= 1, \quad N U_2 = 1, \quad R_1(U_1 D)^2 + R_2(U_2 D)^2 + P = D^2, \\ R_1 U_1 [C_1 \theta_1 + (U_1 D)^2/2] + R_2 U_2 [H_2 + (U_2 D)^2/2] &= 1 + C_2 \theta_0 + D^2/2, \end{aligned} \quad (10)$$

$$\begin{aligned} D(R_2 U_2)_\xi &= -J, \quad D^2 R_2 U_2 U_{2,\xi} + \alpha_2 P_\xi = F, \\ D U_2 \theta_{2,\xi} &= A \eta^{-2} (\eta^2 \theta_{2,\eta})_\eta, \quad 0 < \eta < \eta_2(\xi), \end{aligned} \quad (11)$$

$$\xi = \xi_*: \quad \theta_2 = \theta_2(\xi_*, \eta), \quad \eta_2(\xi) = 1; \quad \eta = 0: \quad \theta_{2,\eta} = 0;$$

$$\eta = \eta_2(\xi): \quad \theta_{2,\sigma} = 1, \quad D U_2 \eta_{2,\xi} = B(\theta_{2,\eta} - \lambda_1 \text{Nu}(\theta_1 - 1)/2\lambda_2 \eta_2).$$

Здесь $B = A/(1 - \theta_0 + L_2/c_2 T_s)$. Безразмерная система (10), (11), описывающая поведение решения в зоне горения ДВ, также не зависит явно от диаметра частиц d_0 .

Обозначим параметры, относящиеся к плоскости полного выгорания частиц, индексом e . Детонационная адиабата смеси характеризует состояние за ДВ после полного выгорания частиц ($R_{2e} = 0$). Из уравнений (10) находим детонационную адиабату:

$$P_e = 2(1 + C_2 \theta_0) / \left(\frac{\gamma + 1}{\gamma - 1} V_e - 1 \right).$$

Здесь γ — отношение удельных теплоемкостей газовой фазы. Скорость идеальной детонации Чепмена — Жуге в вакуум-взвесях равна

$$D_J^2 = 2(\gamma^2 - 1)(1 + C_2 \theta_0), \quad (12)$$

причем она, в отличие от скорости идеальной детонации в газовзвесях [3], не зависит от начальной массовой концентрации частиц.

РЕЗУЛЬТАТЫ РАСЧЕТОВ

Расчеты параметров и структуры волны детонации Чепмена — Жуге в вакуум-взвеси проведены на примере частиц летучего вторичного ВВ — гексогена с исходными данными [8, 11, 13]: $\rho_2^0 = 1820 \text{ кг}/\text{м}^3$, $T_0 = 298 \text{ К}$, $c_2 = 1600 \text{ Дж}/(\text{кг} \cdot \text{К})$, $\lambda_2 = 0,247 \text{ кг} \cdot \text{м}/(\text{с}^3 \cdot \text{К})$, $T_s = 613 \text{ К}$, $L_2 = 0,49 \text{ МДж}/\text{кг}$. Предварительно по программе Астра-4 [14] были определены $\mathfrak{D}_J = 2,3 \text{ км}/\text{с}$, $q_0 = 4,4 \text{ МДж}/\text{кг}$, $c_1 = 1800 \text{ Дж}/(\text{кг} \cdot \text{К})$, $\gamma = 1,25$, $\mu_{10} = 1,6 \cdot 10^{-5} \text{ кг}/(\text{м} \cdot \text{с})$, $\lambda_{10} = 4,5 \cdot 10^{-2} \text{ кг} \cdot \text{м}/(\text{с}^3 \cdot \text{К})$.

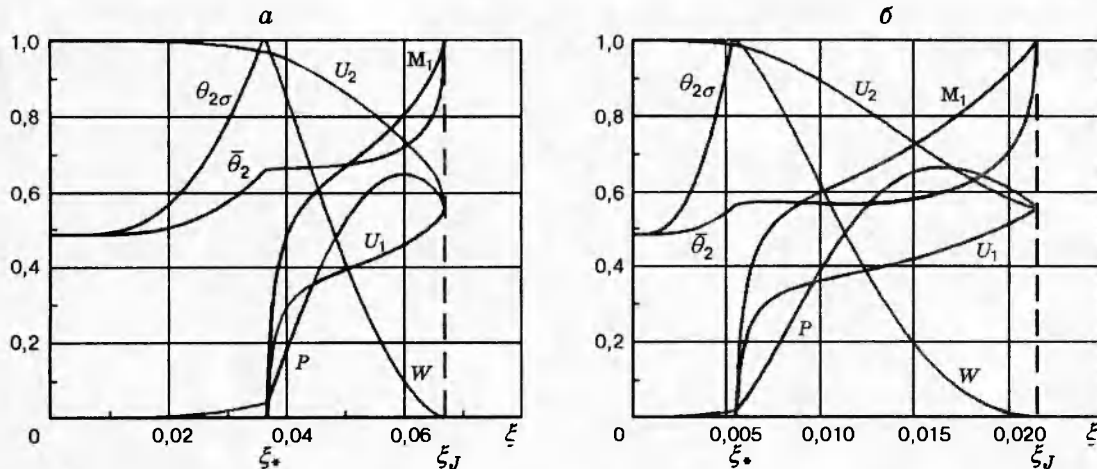


Рис. 1. Профили давления P , массовой скорости газа U_1 и частиц U_2 , поверхностной $\theta_{2\sigma}$ и средней θ_2 температур частиц, степени их выгорания W и числа Маха газового потока M_1 :

$M_1 = u_1 / (\gamma p / \rho_1^0)^{0.5}$; $K = 10$ (a); 100 (б)

При фиксированных термодинамических свойствах фаз стационарное решение в зоне ДВ и ее длина — функции двух независимых параметров: начальной массовой концентрации частиц $\rho_{20} = \alpha_{20}\rho_2^0$ и их диаметра d_0 . Однако при малой объемной ($\alpha_{20} \ll 1$), но конечной массовой концентрации частиц ρ_{20} , выбирая в качестве характерного линейного размера величину $x_0 = d_0^2\rho_2^0\sqrt{q_0}/18\mu_{10}$, можно показать, что безразмерное решение задачи о структуре зоны реакции ДВ в обобщенной постановке (8)–(11) с точностью до членов $O(\alpha_{20})$ зависит только от одной безразмерной величины $K = \rho_{20}d_0\sqrt{q_0}/18\mu_{10}$.

Действительно, безразмерные интенсивности массового, силового и теплового взаимодействий между фазами имеют вид

$$\begin{aligned} J &= \frac{jx_0}{\rho_{20}\sqrt{q_0}} = -\frac{x_0}{\rho_{20}\sqrt{q_0}} \rho_2 u_2 r_2^{-1} r_{2,x} = -DR_2 U_2 \eta_2^{-1} \eta_{2,\xi}, \\ F &= \frac{fx_0}{\rho_{20}q_0} = \frac{\text{Re} \cdot C_D(\text{Re}, M)}{24} W^{1/3} (\theta_1/\theta_0)^{0.7} D(U_1/U_2 - 1), \\ Q &= \frac{qx_0}{\rho_{20}\sqrt{q_0}q_0} = \frac{\text{Nu}(\text{Re}, \text{Pr})}{3\text{Pr}} W^{1/3} (\theta_1/\theta_0)^{0.7} C_1(\theta_1 - \theta_{2\sigma})/U_2. \end{aligned}$$

Здесь W — степень выгорания частиц, $W = (d/d_0)^3$; $M = |u_1 - u_2|/c = D|U_1 - U_2|/(\gamma P/R_1^0)^{0.5}$; $\text{Re} = \rho_1^0 d |u_1 - u_2| / \mu_1 = 18KDR_1^0 |U_1 - U_2| W^{1/3} / (\theta_1/\theta_0)^{0.7}$. Последнее тождество для числа Рейнольдса доказывает сформулированное выше утверждение. Поэтому один вариант расчета безударной структуры ДВ в вакуум-взвеси с фиксированным параметром K дает континuum решений с различными ρ_{20} и d_0 , удовлетворяющими условию $\rho_{20}d_0 = \text{const}$.

Варьированием в широком диапазоне параметра $K \in [1 \div 10^3]$ найдены распределения искомых функций двухфазной среды в зоне реакции идеальной ДВ вакуум-взвеси частиц гексогена. На рис. 1 представлены параметры двухфазной среды в зоне реакции вакуум-взвеси гексогена. Особенность структуры ДВ частиц ВВ в вакууме состоит в том, что в результате энерговыделения в зоне горения обеспечивается движение со скоростью D_J (в лабораторной системе координат) газового поршня, проницаемого для частиц, который

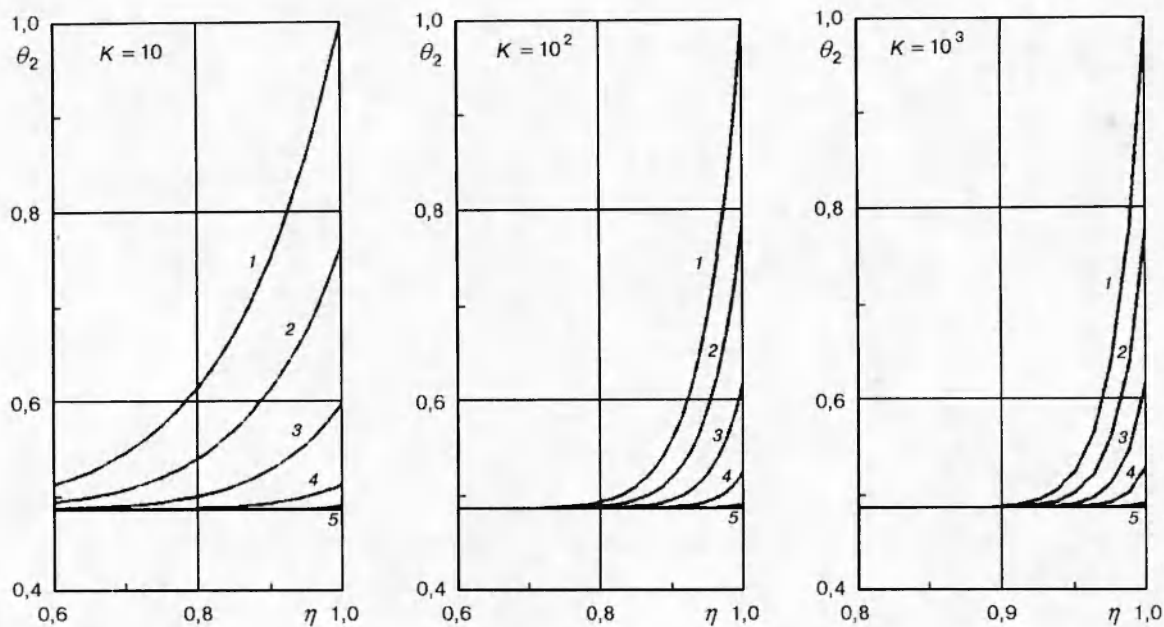


Рис. 2. Профили температуры внутри частиц гексогена, находящихся в зоне прогрева: ξ/ξ_* : 1 — 1; 2 — 0,8; 3 — 0,6; 4 — 0,4; 5 — 0,2

формирует релаксационную волну сжатия. В зоне релаксации ($0 < \xi < \xi_*$, $\theta_{2\sigma}(\xi_*) = 1$) происходит неравномерный прогрев частиц гексогена ($\theta_{2\sigma} \neq \bar{\theta}_2$). Отметим, что относительная длина зоны релаксации ξ_*/ξ_J , где ξ_J — длина зоны реакции ДВ, убывает с ростом параметра K . В зоне горения ($\xi > \xi_*$) скорость газа U_1 и число Маха M_1 монотонно растут, скорость частиц U_2 монотонно убывает, а давление и плотность газовой фазы имеют в точке зоны $\xi = \xi_{\max}$ локальный максимум. К плоскости Чепмена — Жуге все частицы гексогена сгорают ($W = 0$).

Распределения температуры $\hat{\theta}_2(\xi, \eta)$ внутри частиц гексогена на различных расстояниях ξ , отсчитываемых от начала зоны прогрева, приведены на рис. 2. Наблюдаются существенная неоднородность температуры в частицах ВВ, причем к моменту, соответствующему $\theta_{2\sigma}(\xi_*) = 1$, основная масса частицы остается холодной и ее доля растет с увеличением параметра K (т. е. с увеличением диаметра либо концентрации частиц в вакуум-взвеси). Степень прогрева частиц δT_2 будем характеризовать отношением $(\bar{T}_2 - T_{20})/(T_{2\sigma} - T_{20})$. Анализ поведения величины δT_2 в момент начала газификации частиц ($T_{2\sigma} = T_s$) при варьировании параметра $K \in [1 \div 10^3]$ показал монотонное уменьшение степени прогрева частиц с ростом K , причем δT_2 может быть представлена в виде следующей приближенной зависимости:

$$\delta T_2 = (-0,32 + 1,42K^{1/4} + 0,29K^{1/2})^{-1}.$$

В частности, $\delta T_2 \approx 0,06$ при $K = 10^3$, что по энергетике эквивалентно нагреву только 6 % массы частицы (тонкий поверхностный слой, $\sim 0,01d_0$) до температуры испарения T_s .

Из расчетов следует, что длина зоны прогрева частиц гексогена ξ_* уменьшается с ростом K и может быть выражена в виде

$$\xi_* = (-0,725 + 4,354K^{3/4} + 0,4686K)^{-1}.$$

Величина ξ_* в 2–5 раз меньше длины зоны прогрева частиц, определяемой по модели с

Таблица 1

K	ξ_*	$U_2(\xi_*)$	$\theta_2(\xi_*)$	$\theta_1(\xi_*)$	ξ_{\max}	P_{\max}	$R_{1,\max}$	ξ_J
1	0,244	0,936	0,823	2,31	0,28	0,604	1,89	0,289
10	0,036	0,969	0,656	3,59	0,061	0,646	1,98	0,067
10^2	0,0054	0,987	0,560	5,45	0,0164	0,662	2,01	0,0214
10^3	0,0008	0,995	0,517	7,82	0,0042	0,697	2,06	0,0073

равномерным прогревом частиц [6]. Некоторые значения искомых функций в точках зоны ξ_* , ξ_{\max} и длина зоны реакции ДВ ξ_J для четырех значений параметра K приведены в табл. 1. Видно, что к моменту начала вынужденной газификации частиц ВВ температура газовой фазы в несколько раз выше температуры испарения, а скорость частиц $U_2(\xi_*)$ изменяется всего на несколько процентов. В зоне горения безразмерные максимумы давления $P_{\max} = p_{\max}/\rho_{20}q_0$ и плотности газа $R_{1,\max} = \rho_{1,\max}/\rho_{20}$ очень медленно растут с увеличением K . В диапазоне $K \in [1 \div 10^3]$ их с точностью $\pm 5\%$ можно считать постоянными $P_{\max} \simeq 0,65$ и $R_{1,\max} \simeq 1,97$. Последнее означает, что размерные максимумы давления p_{\max} и плотности $\rho_{1,\max}$ в зоне горения ДВ растут прямо пропорционально начальной массовой концентрации частиц ВВ. Безразмерная длина зоны реакции ДВ $\xi_J = x_J/x_0$ уменьшается с ростом параметра K и может быть аппроксимирована в виде

$$\xi_J = (-6,259 + 5,78K^{1/4} + 3,49K^{1/2})^{-1}.$$

Характерные размеры ДВ представляют определенный интерес для оценки масштабов установок при проведении экспериментов. Абсолютные и относительные длины зоны реакции ДВ для ряда значений диаметров и массовых концентраций частиц гексогена представлены в табл. 2. Видно, что длина зоны x_J меняется в широких пределах, причем $x_J \sim d_0^{3/2}$, $x_J \sim \rho_{20}^{-1/2}$.

В работе [15] впервые экспериментально получена детонация взвеси частиц чувствительного ВВ (азида свинца) в вакуумированном объеме трубы диаметром 10 мм и длиной 0,9 м. В таких же условиях проводились и опыты с частицами гексогена размерами $20 \div 100$ мкм, в которых не удалось зарегистрировать самоподдерживающуюся детонацию. Анализ данных табл. 2 дает основание предполагать, что одна из причин неполучения детонации взвеси гексогена — недостаточные размеры экспериментальной установки [15].

Таблица 2

ρ_{20} , кг/м ³	x_J , мм при d_0 , мкм				
	1	3,16	10	31,62	100
0,5	1,61 (1610)	8,22 (2600)	45,6 (4560)	264 (8347)	1537 (15370)
	0,89 (888)	4,91 (1553)	28,3 (2830)	165 (5218)	972 (9720)
1,374	0,456 (456)	2,64 (835)	15,4 (1540)	91 (2879)	531 (5313)

Примечание. В скобках приведены значения x_J/d_0 .

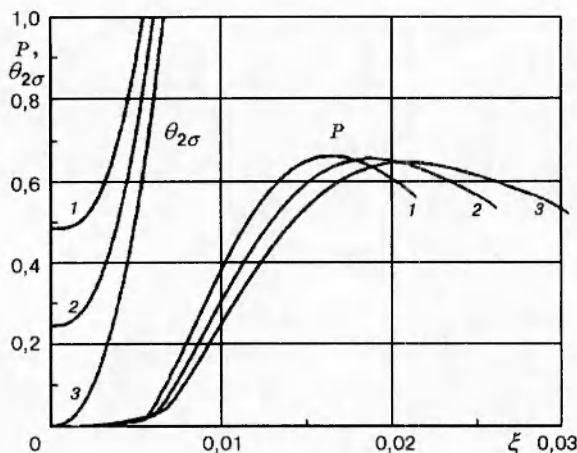


Рис. 3. Зависимости поверхностной температуры частиц и давления от расстояния ξ ($K = 100$):
 T_{20} , К: 1 — 298; 2 — 150; 3 — 0

Таблица 3

T_{20} , К	D_J , м/с	ξ_*	$U_2(\xi_*)$	$\bar{\theta}_2(\xi_*)$	$\theta_1(\xi_*)$	ξ_{max}	F_{max}	ξ_J
298	2300	0,0054	0,987	0,560	5,45	0,0164	0,662	0,0214
150	2243	0,0060	0,978	0,362	5,97	0,0188	0,656	0,0261
0	2185	0,0066	0,966	0,170	6,256	0,0209	0,647	0,0310

которые сравнимы с длиной зоны реакции частиц указанных диаметров.

Рассмотрено влияние начальной температуры частиц T_{20} на структуру ДВ. Результаты расчетов представлены на рис. 3 и в табл. 3. Видно, что с уменьшением T_{20} принципиальных изменений в структуре ДВ не происходит, хотя длина зоны релаксации, положение максимума давления и длина зоны реакции ДВ монотонно увеличиваются, причем при $T_{20} = 0$ последняя на 40 % больше ξ_J при стандартной температуре.

Итак, по модели, учитывающей неоднородное распределение температуры внутри частиц летучих вторичных ВВ, решена задача о безударной структуре стационарной ДВ в вакууме с частицами гексогена. При варьировании в широком диапазоне начальных массовых концентраций и размеров частиц ВВ установлено, что в структуре ДВ:

- средняя температура частиц значительно меньше поверхностной;
- длина зоны прогрева частиц гексогена до температуры испарения в 2–5 раз короче длины зоны прогрева частиц, определяемой по модели с однородным распределением температуры в частицах;
- в зоне горения частиц давление имеет локальный максимум, величина которого растет прямо пропорционально начальной массовой концентрации частиц ВВ;
- с уменьшением начальной температуры частиц T_{20} до нуля не происходит существенных изменений в структуре волны.

Работа выполнена при частичной финансовой поддержке Российского фонда фундаментальных исследований (код проекта 96-01-01682а).

ЛИТЕРАТУРА

- Нигматулин Р. И., Вайнштейн П. Б., Ахатов И. Ш. Структура стационарных детонационных волн в смесях газа с частицами унитарного топлива // Химическая

- физика процессов горения и взрыва. Черноголовка, 1980. С. 96–99.
2. Ахатов И. Ш., Вайнштейн П. В., Нигматулин Р. И. Структура детонационных волн в газовзвесях унитарного топлива // Изв. АН СССР. МЖГ. 1981. № 5. С. 47–53.
 3. Нигматулин Р. И. Динамика многофазных сред. М.: Наука, 1987. Ч. 1.
 4. Медведев А. Е., Федоров А. В., Фомин В. М. Структура волны гетерогенной детонации в газовзвесях. Новосибирск, 1986. (Препр. / АН СССР. Сиб. отд-ние. ИТПМ; № 36-86).
 5. Медведев А. Е., Федоров А. В., Фомин В. М. Исследование адиабат гетерогенной двухфазной детонации // Физика горения и взрыва. 1987. Т. 23, № 2. С. 115–121.
 6. Ждан С. А. Структура детонационных волн в вакууме с частицами унитарного топлива // Физика горения и взрыва. 1991. Т. 27, № 6. С. 109–115.
 7. Ждан С. А. Безударное инициирование детонации в вакууме с частицами унитарного топлива // Физика горения и взрыва. 1992. Т. 28, № 4. С. 136–142.
 8. Sichel M., Baek S. W., Kauffman C. W., et. al. The shock wave ignition of dusts // AIAA J. 1985. V. 23. P. 1375–1380.
 9. Либрович В. Б. О воспламенении порохов и взрывчатых веществ // ПМТФ. 1963. № 6. С. 74–79.
 10. Гостинцев Ю. А. О воспламенении, нестационарном горении и срыве пламени с частицы унитарного топлива // Физика горения и взрыва. 1971. Т. 7, № 3. С. 337–344.
 11. Беляев А. Ф. Горение, детонация и работа взрыва конденсированных систем. М.: Наука, 1968.
 12. Henderson C. B. Drag coefficient of spheres in continuum and rarefied flows // AIAA J. 1976. V. 14. P. 707–708.
 13. Андреев К. К. Термическое разложение и горение взрывчатых веществ. М.: Наука, 1966.
 14. Трусов Б. Г. Моделирование химических и фазовых равновесий при высоких температурах. Программный комплекс Астра-4/рс. М.: МГТУ, 1991.
 15. Митрофанов В. В., Бакиров И. Т. Детонация взвеси частиц чувствительного ВВ в вакууме // Физика горения и взрыва. 1994. Т. 30, № 2. С. 122–124.

*Поступила в редакцию 14/XII 1996 г.,
в окончательном варианте — 29/I 1997 г.*